



سنگ شناسی و زمین شیمی بخش گابرویی افیولیت دشت سمسور، جنوب شرق ایران

جلیل احمد کریمزا^{ای}ی، حبیب بیابانگرد^{*}، ساسان باقری

گروه زمین شناسی، دانشکده علوم پایه، دانشگاه سیستان و بلوچستان، زاهدان، ایران.

(دریافت مقاله: ۹۷/۱۲/۴، نسخه نهایی: ۹۸/۴/۲)

چکیده: افیولیت سمسور، در استان سیستان و بلوچستان و ۲۱۰ کیلومتری جنوب غربی شهر زاهدان واقع است. از نظر تقسیمات ساختاری و رسوبی ایران، این افیولیت در کنار گسل نصرت‌آباد - کارواندر و جزو پهنه زمین درز سیستان است. عمدۀ واحدۀای سنگی این افیولیت را واحدۀای فرامافیک، واحدۀای گابرویی (لایه‌ای و توده‌ای) و واحدۀای دلبریتی تشکیل می‌دهند. در بررسی‌های میکروسکوپی، ترکیب سنگ‌شناسی واحدۀای مورد بررسی در این افیولیت شامل لرزولیت، گابرو، اولیوین گابرو و دیباز است که دارای بافت‌های دانه‌ای، شبکه‌ای، انباشتی، پورفیری و پوست ماری سنگ‌ها هستند. در نمودارهای زمین شیمیایی رده‌بندی، در گستره سنگ‌های گابرو و گابروی پیکریتی قرار دارند. استفاده از نمودارهای ت نقیک محیط زمین‌ساختی ماقمایی نشان می‌دهد که ماقمای سازنده سنگ‌های آذرین این افیولیت از ماقمایهای نوع مُورب پشتۀای میان اقیانوسی است. بررسی مقدار عناصر خاکی نادر بهنجار شده نسبت به کندریت و مُورب نشان می‌دهند که مقادیر عناصر خاکی نادر سبک (LREE) نسبت به عناصر خاکی نادر سنگین (HRRE) غنی‌شدگی دارند و نسبت به بازالت‌های پشتۀای میان اقیانوسی مورب غنی‌شده (E-MORB) و مورب عادی (N-MORB) غنی‌تر هستند و نزدیکی بیشتری به E-MORB نشان می‌دهند. بررسی توالی‌های بلورهای انباشتی در بخش گابروهای لایه‌ای نشان دهنده ترتیب تبلور اولیوین، پلاژیوکلاز و کلینوپیروکسن است که شباهت بسیاری به تبلور جدایشی ماقمایهای تولیتی پشتۀهای میان اقیانوسی دارد.

واژه‌های کلیدی: گابروی انباشتی؛ کورین؛ دشت سمسور؛ پهنه زمین درز سیستان؛ افیولیت.

ذوب‌بخشی به دو گروه هارزبورزیتی و لرزولیتی تقسیم نموده‌اند [۱۰-۱۲]. در مورد افیولیت‌های ایران، پژوهش‌های گسترده‌ای از نظر سن و فراوانی [۱۳، ۱۴]، موقعیت مکانی [۱۵-۱۷]، روابط صحرایی حاکم بر پریدوتیت‌های آنها [۱۸] و چگونگی تشکیل آنها [۱۹] انجام شده است. افیولیت دشت سمسور تاکتون بررسی و پیشینه پژوهشی پیرامون آن اندک است. تنها در نقشه زمین‌شناسی ۱/۱۰۰۰۰۰ حسن آباد کورین [۲۰] به آن اشاره شده است و این افیولیت را با سن کرتاسه پسین مشخص نموده‌اند. در این نوشтар، هدف بررسی ویژگی‌های سنگ شناسی و خاستگاه احتمالی واحدۀای گابروی این افیولیت برای نخستین بار است.

مقدمه
افیولیت به مجموعه‌ای از سنگ‌های آذرین فرامافیک و مافیک درونی و بیرونی و رسوب‌های مناطق عمیق دریایی با ماهیت پوسته اقیانوسی و گوشته بالایی گفته می‌شود [۱] که معمولاً سبز رنگ [۲] هستند. افیولیت‌ها بیشتر در اثر تنش‌های زمین ساختی به هم ریخته [۳] و در حد رخساره شیست سبز و گاه تا آمفیولیت دچار دگرگونی شده‌اند [۴]. افیولیت‌ها در واقع بخش‌هایی از پوسته اقیانوسی و گوشته بالایی هستند که طی فرورانش روی پوسته قاره‌ای رانده شده‌اند [۵-۸]. آنها نقش ارزنده‌ای در شناخت دگرگونی‌های زمین دینامیکی پوسته زمین دارند [۶]. در سال‌های اخیر، افیولیت‌ها را بر اساس درجه

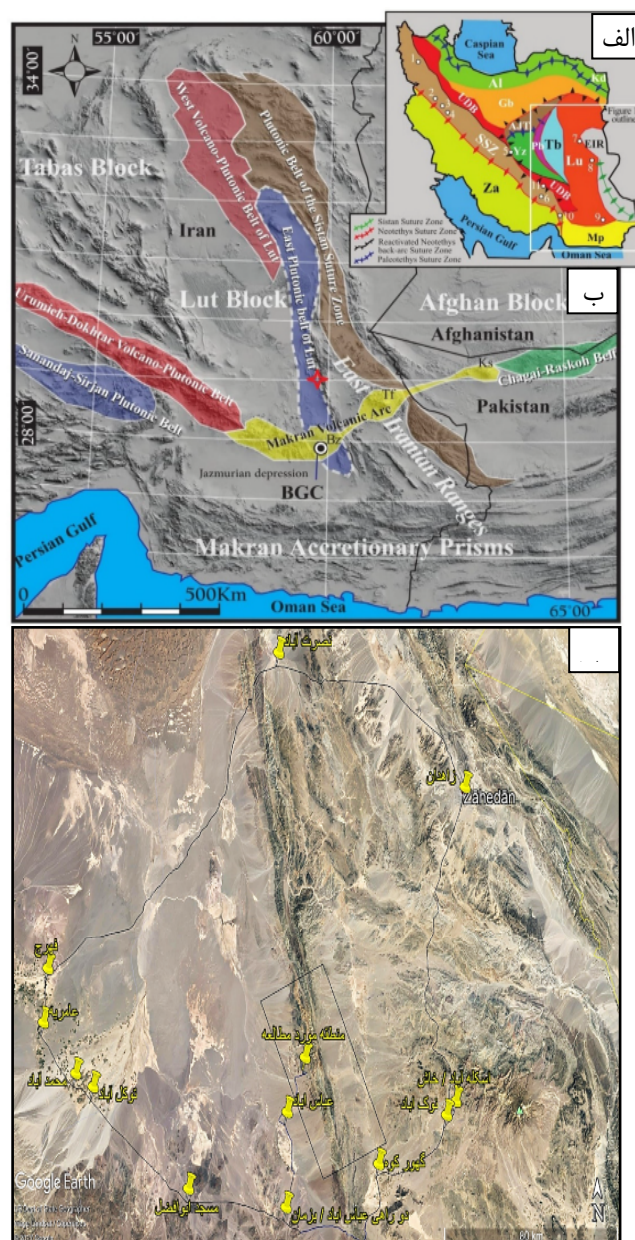
عناصر فرعی و کمیاب به روش طیفستنجی جرمی پلاسمای جفت شده القایی (ICP-MS)، تجزیه شیمیایی شدند. برای پردازش و رسم نمودارها از نرم افزارهای Igpet نسخه ۲۰۰۵ [۲۱] و GCDKit نسخه ۲۰،۱،۱ [۲۲] استفاده شد.

زمین‌شناسی

افیولیت دشت سمسور در کرانه شرقی قطعه لوت [۲۳] واقع است (شکل‌های ۱ الف و ب). آسانترین راه دسترسی به منطقه مورد بررسی از طریق جاده خاش به اسکل آباد، گوهرکوه تا روستای عباس‌آباد به فاصله‌ای حدود ۲۱۰ کیلومتر است.

روش پژوهش

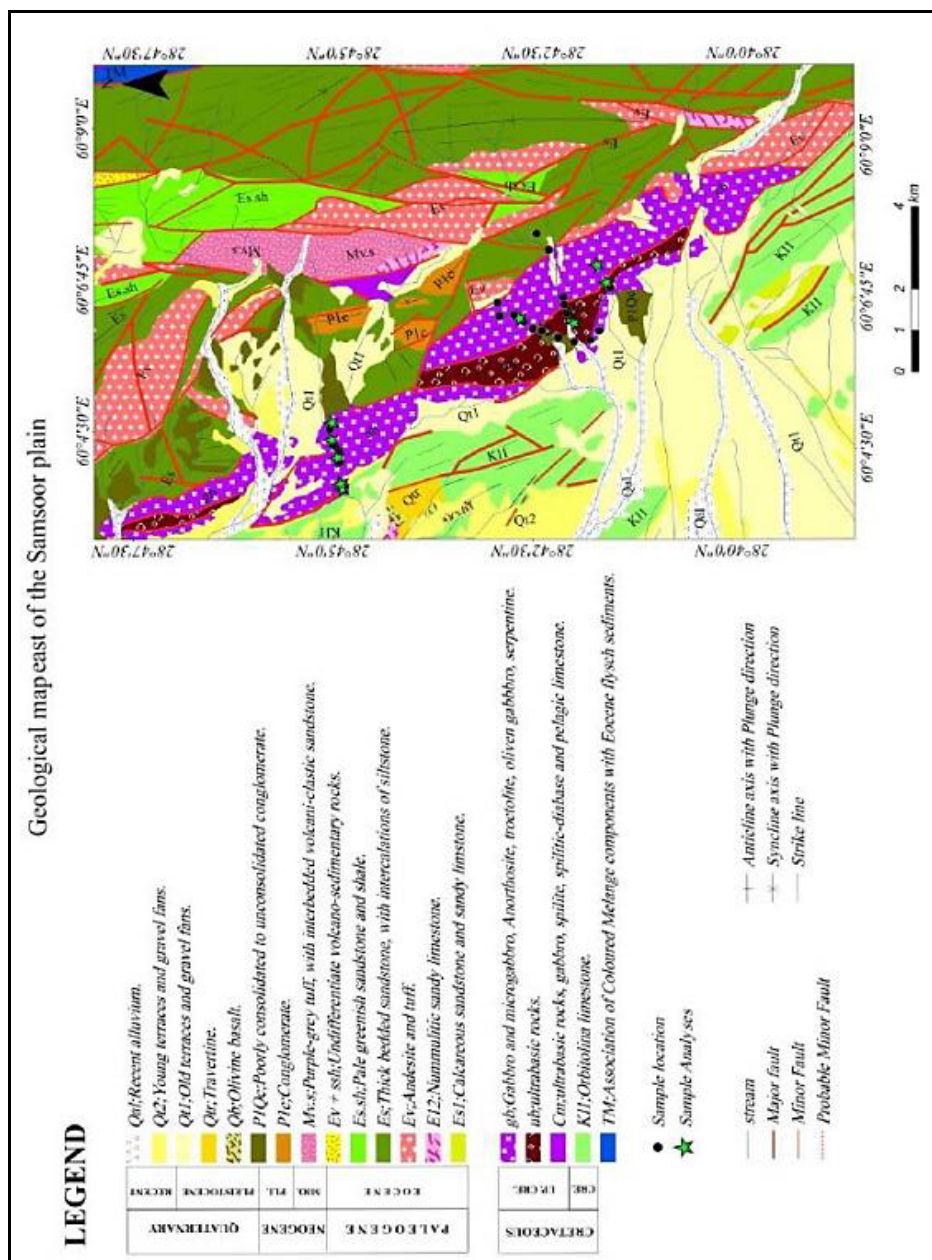
طی پیمایش‌های صحراوی در دو نوبت از همه واحدهای افیولیتی و سنگ‌های میزان منطقه مورد بررسی به طور هدفمند تعداد ۱۵۰ نمونه برداشت شد. سپس از آنها مقاطع نازک تهیه و توسط میکروسکوپ قطبی‌المپیوس در دو حالت نور قطبیده صفحه‌ای (PPL) و متقاطع (XPL) بررسی شدند. به منظور بررسی ویژگی‌های زمین‌شیمیایی سنگ‌های آذربین سازنده افیولیت مورد نظر، تعداد ۱۲ نمونه انتخاب و به شرکت MS Analytical کانادا ارسال شد. در آنجا، عناصر اصلی به روش طیفستنجی فلئورسانس پرتوی ایکس (XRF) و



شکل ۱ الف: واحدهای اصلی زمین ساختی چینه نگاری ایران (بر گرفته از مراجع [۱۸، ۲۳، ۲۴]، ب) - واحدهای اصلی زمین ساختی چینه نگاری ایران، اصلاح شده از [۲۳]، پ) جایگاه جغرافیایی منطقه مورد بررسی و راههای دسترسی به آن.

پریدوتیت‌های زمین‌ساخته و سرپانتینی شده تشکیل می‌دهد که یکی از واحدهای مهم سنگی موجود در منطقه است، که در نمونه صحرایی دارای رنگ‌های تیره، سیاه و در نمونه‌های با سطوح تازه به رنگ سبز تیره تا سیاه هستند (شکل ۴). اصلی‌ترین و فراوان‌ترین واحدسنگی افیولیت مورد نظر واحدهای گابرویی است که به صورت توده‌ای و لایه‌ای (شکل‌های ۵ الف تا پ)، دیده می‌شوند و دارای مرز گسلیده با مجموعه‌های آهکی و پریدوتیتی هستند. وجود لایه‌بندی منظم (انباشتی) در گابروهای منطقه (شکل ۵ ت) از شواهد مأگمایی است.

از روستای عباس آباد تا منطقه مورد بررسی، ۳۰ کیلومتر فاصله است که منطقه در ارتفاعات شرق دشت سمسور واقع است (شکل ۱ پ). مهمترین واحدهای سنگی منطقه در نقشه زمین‌شناسی ۱/۱۰۰۰۰ حسن‌آباد کورین [۲۰] با انجام تصحیحات در شکل ۲ نشان داده شده است. قدیمی‌ترین رخنمون‌های منطقه لایه‌های آهک زرد تا خاکستری (به سن کرتاسه) با خامت به نسبت زیاد (شکل ۳) و از جمله واحدهای ساخته قطعه لوت هستند. افیولیت سمسور (کرتاسه پسین) در شرق این سنگ‌ها بروز ندارد (شکل ۲). قاعده این افیولیت را





شکل ۳ مجموعه‌های آهکی منطقه مورد بررسی، دید به سمت شمال غرب.



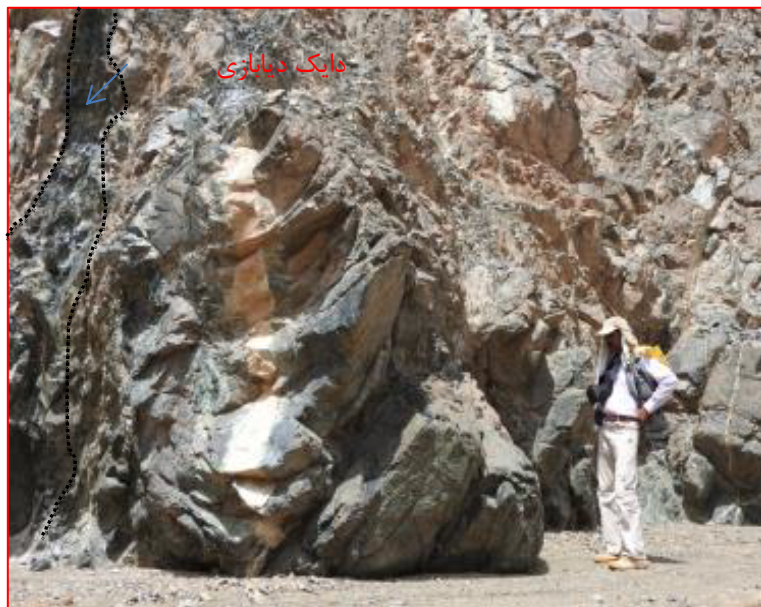
شکل ۴ واحد پریدوتیت زمین ساخته و سرباناتینی شده افیولیت دشت سمسور، دید به سمت شمال.



شکل ۵ انواع بافت‌های صحرایی در واحدهای گلبرویی: (الف) توده‌ای، (ب، پ) نواری، (ت) نمایی نزدیکتر از بافت انباشتی.

آنها ضخامتی حدود ۵۰ سانتی‌متر و راستای شمال غرب-جنوب شرق دارند. واحدهای فلیشی ائوسن به رنگ قهوه‌ای تا سبز، شامل شیل، ماسه سنگ، میان لایه‌های آهکی و کنگلومرا هستند و بلندترین ارتفاعات منطقه را تشکیل می‌دهند (شکل ۷). افق‌های تراویرن با رنگ کرمی تا شیری جدیدترین واحدهای منطقه هستند که کنار واحدهای آهکی و گابرویی دیده می‌شوند (شکل ۸).

گابروهای منطقه بیشتر به صورت تیره تا مایل به سبز رنگ و در نمونه دستی دانه‌ای هستند. این واحد در بعضی از مناطق مورد بررسی به شدت دچار دگرانسازی شده و در آنها دایک‌های دیابازی نفوذ کرده‌اند (شکل ۶). این دایک‌ها گسترش بسیاری در مجموعه افیولیتی منطقه ندارند، در سطح هوازده به رنگ سیاه و در نمونه تازه به رنگ تیره مایل به سبز تا خاکستری بوده و از نظر دانه‌بندی ریزدانه‌اند و ترکیبی شبیه گابروها دارند.



شکل ۶ دایک‌های دیابازی نفوذ کرده در مجموعه‌های گابرویی، دید به سمت شمال غرب.



شکل ۷ نمای از مجموعه‌های ماسه سنگی و شیلی منطقه، دید به سمت شمال شرق.



شکل ۸ مجموعه تراوتان منطقه، دید به سمت شمال شرق.

لرزولیت‌ها: این سنگ‌ها از جمله مهمترین سنگ‌های فرامافیک افیولیت سمسور هستند که در اصل از اولیوین، پیروکسن و به طور فرعی از اسپینل تشکیل شده‌اند. کانی‌های ثانویه آنها کلسیت، کلریت و اپیدوت هستند. کانی اولیوین در برخی از نمونه‌ها حدود ۹۰ درصد حجمی کانی‌ها را تشکیل می‌دهد و بافت اوئیه آن در بعضی از نمونه‌ها به دلیل دگرسانی شدید به سرپانتین، قابل تشخیص نیست. سرپانتین‌ها اغلب دارای بافت شبکه‌ای هستند. پیروکسن از نوع کلینوپیروکسن، نیمه‌شکل‌دار و نسبت به اولیوین کمتر دگرسان شده است و به طور نامنظم در بین بلورهای اولیوین که همه سرپانتینی شده‌اند، قرار دارند (شکل ۱۰). اسپینل تنها کانی فرعی است که به صورت شکل‌دار و نیمه شکل‌دار در اندازه‌ای متوسط در میان کانی‌های اولیوین دیده می‌شود.

پلاژیوگرانیت‌ها: این سنگ‌ها در مقاطع میکروسکوپی دربردارنده کانی‌های پلاژیوکلاز و کوارتز هستند (شکل ۱۱). پلاژیوکلاز فراوان‌ترین کانی سازنده آنها (حدود ۷۵ درصد حجمی) و طور معمول شکل‌دار تا نیمه شکل‌دار و اغلب دارای ماکل چندریخت است. هورنبلند (حدود ۱۰ تا ۱۵ درصد) در مقاطع طولی کشیده و معمولاً دچار دگرسانی شده است. کوارتز ۱۵ تا ۲۰ درصد حجمی) اغلب به صورت نیمه شکل‌دار تا بی شکل است. این سنگ‌ها دارای بافت دانه‌ای متوسط‌دانه هستند (جدول ۱).

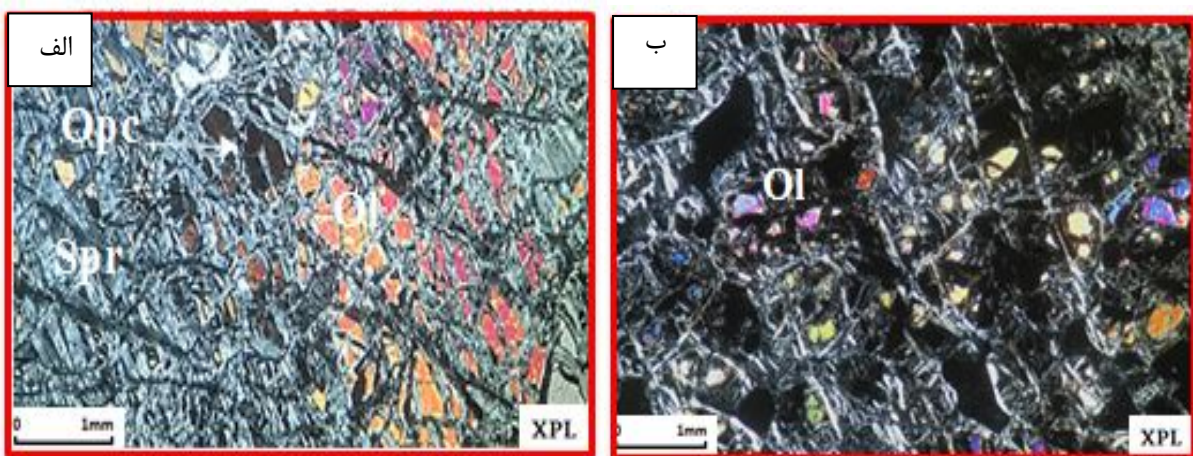
سنگنگاری

واحدهای سنگی افیولیت دشت سمسور را سنگ‌های گابرویی، هارزبورزیتی، دونیتی و به مقدار کم پلاژیوگرانیت به شرح زیر تشکیل می‌دهند.

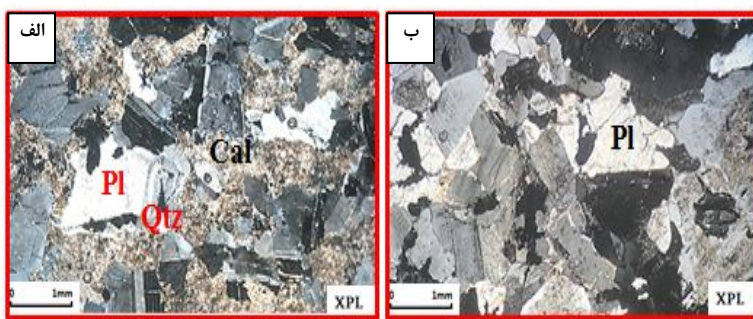
گابروها: در نمونه‌های میکروسکوپی، گابروها دربردارنده کانی‌های اصلی پلاژیوکلاز و کلینوپیروکسن هستند. پلاژیوکلاز مهم‌ترین و فراوان‌ترین کانی سازنده این سنگ‌ها (۵۰ تا ۶۵ درصد حجمی) در اندازه ۱ تا ۲ میلیمتر است. آنها اغلب شکل‌دار تا نیمه شکل‌دار و دارای ماکل چندریخت هستند (شکل ۹ الف). کلینوپیروکسن از نوع اوژیت (۲۵ تا ۳۵ درصد حجمی)، به صورت درشت دانه و شکل‌دار تا نیمه شکل‌دار است (شکل ۹ ب). اولیوین در برخی از گابروها به ۵ تا ۱۵ درصد می‌رسد که اغلب به صورت دانه درشت تا دانه ریز و بدون شکل است و در بعضی از قسمت‌ها به سرپانتین و کلریت تجزیه شده‌اند؛ این سنگ‌ها را می‌توان اولیوین گابرو نامید (شکل ۹ ب). گروهی از گابروهای منطقه با دارا بودن اولیوین بیشتر از پیروکسن و فراوانی پلاژیوکلاز، از نوع ترکتولیت هستند (شکل ۹ ت). کانی‌های فرعی و ثانویه این سنگ‌ها کلسیت، کلریت و سرپانتین برآمده از تجزیه اولیوین و پیروکسن هستند. بافت غالب گابروهای منطقه دانه‌ای و پوست ماری است. بررسی اصولی واحدهای گابرویی منطقه از پایین به بالا، و به طور مجزا با میکروسکوپ نشان می‌دهد که آنها بهم وابسته‌اند.



شکل ۹ تصاویر میکروسکوپی از گابروهای، مجموعه افیولیتی دشت سمسور: (الف) پلاژیوکلاز (Pl) دانه درشت با ماکل چندریخت و کارلسbad، کلینوپیروسن (Cpx)، (ب) وجود پلاژیوکلاز (Pl) و کلینوپیروسن (Cpx) که هر دو در حال دگرسان شدن هستند، (پ) بلورهای سالم و دانه درشت پلاژیوکلاز (Pl) با ماکل چندریخت، کارلسbad و کانی دانه درشت اولیوین (Ol) در اولیوین گابرو، (ت) کانی پلاژیوکلاز (Pl) به نسبت سالم، دارای ماکل چندریخت و کانی های اولیوین (Ol) و ارتوپیروسن (Opx) در ترکولیت ها (همه تصاویر در نور قطبیده متقطع (XPL) با بزرگنمایی ۴۰X تهیه شده‌اند).



شکل ۱۰ تصاویر میکروسکوپی از لرزولیت های مجموعه افیولیتی شرق دشت سمسور: (الف) وجود کانی های اولیوین (Ol)، کدر (Opx) و سرپانتین (Spr) در سنگ که حجم بیشتر سنگ را اولیوین تشکیل داده، در حال تجزیه به سرپانتین بوده و باعث ایجاد، بافت شبکه‌ای گردیده است، (ب) وجود حجم بالای کانی آپک در بین کانی های اولیوین (Ol) و سرپانتین (Spr) (همه تصاویر در نور قطبیده متقطع، XPL، با بزرگ‌نمایی ۴۰X تهیه شده‌اند).



شکل ۱۱ تصاویر میکروسکوپی از پلاژیوگرانیت‌های مجموعه افیولیتی شرق دشت سمسور: (الف) درشت بلور پلاژیوکلاز(Pl) با ماکل شاخص چندریخت همراه با کوارتز (Qtz) دانه ریز در زمینه، هورنبلند (Hlb) و پلاژیوکلاز‌های در حال دگرسان شدن به کلسیت(Cal). و (ب) بلورهای دانه درشت پلاژیوکلاز(Pl) به نسبت سالم با ماکل چندریخت همراه با مقدار کمی کلریت (Chl) در زمینه سنگ (همه تصاویر در نور قطبیده متقطع، درشت پلاژیوکلاز(Pl) به نسبت سالم با ماکل چندریخت همراه با مقدار کمی کلریت (Chl) در زمینه سنگ (همه تصاویر در نور قطبیده متقطع، XPL، با بزرگنمای ۴۰X تهیه شده‌اند).

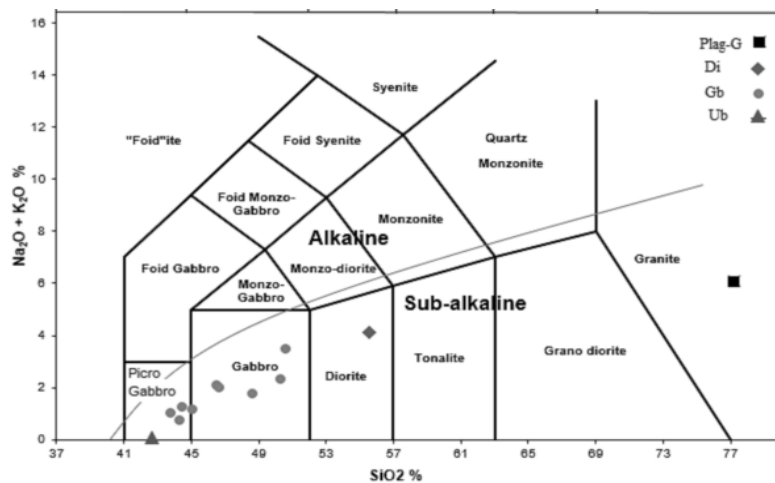
جدول ۱ نتایج تجزیه عناصر اصلی به روش XRF (بر حسب درصد وزنی) و عناصر کم مقدار بر حسب قسمت در میلیون (ppm)، (GB = گابرو، Di = دیاباز، PLG = فرامافیک (دونیت)، Ub = پلاژیوگرانیت (Donyit))

نمونه	GB	GB	GB	GB	GB	GB	GB	GB	Ub	Di	PLG
SiO ₂	۴۲.۷۷	۴۵.۱۱	۴۳.۶	۴۷.۸۸	۴۸.۹۷	۴۵.۳۱	۴۰.۷۲	۴۲.۶۸	۴۹.۳۸	۳۸.۴۲	۵۴.۱
TiO ₂	۰.۱۸	۰.۰۵	۰.۰۴	۰.۲۲	۰.۱۷	۰.۰۷	۰.۰۷	۰.۰۹	۰.۳	۰.۰۱	۰.۸۲
Al ₂ O ₃	۱۲.۲۹	۲۰.۸۶	۲۰.۳۳	۱۸.۷۷	۲۳.۰۲	۲۸.۲۳	۱۷.۷	۱۴.۷۱	۱۷.۹۸	۰.۶۵	۱۶.۷
Fe ₂ O ₃	۱.۰۳۲	۶.۹۹	۵.۹۸	۵.۳۷	۲.۴۷	۲.۲۹	۴.۸۳	۳.۸۴	۴.۲	۷.۶	۷.۴۸
FeO	۹.۰۵	۵.۶۹	۴.۷۲	۳.۷۳	۰.۸۸	۰.۷۸	۲.۶۲	۲.۲	۲.۲۹	۲.۹۳	۰.۸۳
MnO	۰.۱۵	۰.۰۹	۰.۰۸	۰.۰۹	۰.۰۵	۰.۰۳	۰.۰۷	۰.۰۸	۰.۱۱	۰.۱۳	۰.۱
MgO	۲۰.۹۶	۱۳.۸۵	۱۵.۲۶	۱۱.۱۲	۴.۷۷	۵.۱۲	۱۰.۱۳	۱۲.۲۵	۹.۲۱	۴۲.۴۳	۴.۸۳
CaO	۸.۷۷	۹.۹۲	۱۱.۱۴	۱۴.۵۹	۱۳.۹۳	۱۴.۰۲	۱۰.۱۶	۲۱.۷۹	۱۴.۹۸	۰.۷۲	۷.۴۳
Na ₂ O	۱.۱۷	۱.۸۹	۱.۰۵	۱.۷	۳.۲۳	۱.۷۳	۰.۸۸	۰.۸۸	۲.۲۰	۰.۰۴	۰.۸۰
K ₂ O	۰.۰۳	۰.۰۴	۰.۰۲	۰.۰۳	۰.۱۱	۰.۰۳	۰.۰۳	۰.۱	۰.۰۵	۰.۰۱	۰.۱۲۲
P ₂ O ₅	۰.۰۱	۰.۰۱	۰.۰۱	۰.۰۱	۰.۰۱	۰.۰۱	۰.۰۱	۰.۰۱	۰.۰۱	۰.۱۵	۰.۰۲
BaO	۰.۰۱	۰.۰۱	۰.۰۱	۰.۰۱	۰.۰۱	۰.۰۱	۰.۰۱	۰.۰۱	۰.۰۱	۰.۰۴	۰.۰۱
SrO	۰.۰۵	۰.۰۲	۰.۰۱	۰.۰۲	۰.۰۴	۰.۰۳	۰.۰۱	۰.۱	۰.۰۲	۰.۰۴	۰.۰۱
Cr ₂ O ₃	۰.۱۷	۰.۰۱	۰.۰۳	۰.۲	۰.۱۸	۰.۰۵	۰.۱۲	۰.۰۹	۰.۱۷	۰.۴	۰.۰۱
مواد فرار (LOI)	۴.۰۷	۳.۶۴	۴.۷۹	۱.۶۷	۳.۵۱	۲.۶۴	۷.۶۴	۲.۹۵	۳.۹۶	۱۱.۲۷	۲.۴۶
مجموع	۱۰۰.۹۴	۱۰۱.۸۵	۱۰۱.۸۱	۱۰۱.۵۵	۱۰۰.۴	۹۹.۸۳	۱۰۰.۲۵	۱۰۰.۲۸	۱۰۰.۲۵	۱۰۱.۷۵	۹۸.۳
Mg#	۷۰.۶۷	۷۰.۷۰	۷۷.۲۰	۷۵.۰۰	۸۴.۸۷	۸۷.۰۹	۸۴.۲۷	۸۷.۲۱	۴۸.۱۷	۸۴.۱۵	۸۰.۳۸
Sr	۰۴۰.۱	۱۹۹.۹	۱۳۸.۱	۲۰۵.۲	۴.۸	۲۹۴.۱	۱۳۳	۹۹۹.۱	۲۵۳۴	۱۰۵	۷۸۱.۲
Rb	۱.۲	۰.۳	۰.۲	۰.۵	۱.۲	۵	۰.۳	۰.۶	۰.۳	۳۴.۲	۱.۷
Cs	۱۰.۳۵	۰.۶۱	۰.۳۷	۱.۶	۰.۷۵	۹.۰۳	۰.۸۱	۰.۸۴	۱.۲	۳۴.۶	۳۳.۴
Ba	۱۷	۱.۴	۰.۵	۲.۶	۰.۵	۹.۲	۲.۳	۲۲.۱	۴.۳	۰.۸	۴.۴۲
Nb	۰.۱	۰.۱	۰.۱	۰.۱	۰.۱	۰.۱	۰.۱	۰.۱	۰.۱	۸.۱	۲
Ta	۰.۱	۰.۱	۰.۱	۰.۱	۰.۱	۰.۱	۰.۱	۰.۱	۰.۱	۰.۶	۰.۲
V	۸.۰	۱۵	۲۶	۱۷۷	۹۶	۲۴	۴۲	۱۷۷	۱۶۳	۴۴	۱۸.۰
Cr	۱۱.۷۰	۳.۳	۲۴.۱	۱۳.۳۳	۱۲.۲۹	۳.۱۷	۸.۰۹	۶.۴۴	۱۲.۱	۲۲.۹	۱.۴
Ni	۷۱.۷۹	۲۵.۴	۳۶.۱	۲۳.۴۹	۱.۹	۱۲.۱۲	۶.۴۷۴	۱۹.۷۷	۱۴۲.۲	۲۱۲.۸۱	۱۵۷
Co	۸.۰۴	۵۸.۵	۵۱.۳	۳۴.۵	۱۳.۱	۱۷.۵	۵۲	۳۰.۸	۲۴.۹	۹۵.۴	۱۸.۸
Ti	۱۱۲.۲۷	۳۱.۰	۲۵.۱۱	۱۳۴.۰۷	۱.۰۴۹	۴۳.۰۸	۴۰.۱۷	۵۶.۰۸	۱۸۷.۲۸	۶۶.۶	۵۰.۳۹۳
Y	۳.۵	۰.۵	۰.۷	۴.۸	۳.۹	۱.۲	۲	۳.۳	۷.۷	۰.۵	۲۱.۹
U	۰.۰۰	۰.۰۰	۰.۰۰	۰.۰۰	۰.۰۰	۰.۰۰	۰.۰۰	۰.۰۰	۰.۰۰	۱.۴	۰.۱۶
Th	۰.۰۵	۰.۰۵	۰.۰۵	۰.۰۵	۰.۰۵	۰.۰۵	۰.۰۵	۰.۲۶	۰.۰۵	۰.۰۵	۵.۸۱
Hf	۰.۳	۰.۲	۰.۲	۰.۳	۰.۲	۰.۲	۰.۲	۰.۲	۰.۳	۰.۲	۲.۴
Eu	۰.۲۷	۰.۲۴	۰.۱۳	۰.۲۴	۰.۳۳	۰.۲۶	۰.۱۵	۰.۱۴	۰.۳۹	۰.۰۳	۱.۱۵
TS	۰.۰۹	۰.۰۶	۰.۰۷	۰.۰۴	۰.۰۱	۰.۰۱	۰.۰۷	۰.۰۳	۰.۰۲	۰.۰۲	۰.۰۱
Ga	۸.۹	۱۲.۷	۱۰.۲	۱۲.۸	۱۴.۸	۱۲.۸	۸.۷	۶.۴۵	۱۲.۲	۱.۱	۱۸
P	۲۲.۷	۲۲.۶	۲۲.۹	۲۲.۲	۲۲.۶	۲۲.۴	۲۳.۵	۲۲.۲	۳۳.۵۶	۲۲.۷	۲۲.۳
La	۰.۶	۰.۳	۰.۳	۰.۵	۰.۳	۰.۳	۰.۲	۰.۱	۰.۴	۰.۱	۲۱.۹
Ce	۱.۳	۰.۷	۰.۴	۱.۳	۰.۹	۰.۸	۰.۴	۰.۳	۱.۳	۰.۱	۴۴.۱
Pr	۰.۲	۰.۱	۰.۰۷	۰.۲۴	۰.۱۶	۰.۱۳	۰.۰۸	۰.۰۵	۰.۲۲	۰.۰۳	۴.۹۹
Nd	۱.۱	۰.۴	۰.۳	۱.۲	۰.۹	۰.۶	۰.۵	۰.۴	۱.۵	۰.۱	۴.۸
Sm	۰.۳۶	۰.۱	۰.۰۸	۰.۴۹	۰.۳۶	۰.۲	۰.۱۷	۰.۲۱	۰.۶۱	۰.۰۳	۴.۰۶
Gd	۰.۵۲	۰.۰۸	۰.۱	۰.۷	۰.۴۹	۰.۲	۰.۲	۰.۳۶	۰.۹۹	۰.۰۵	۳۹.۷
Tb	۰.۱	۰.۰۲	۰.۰۲	۰.۱۴	۰.۱۱	۰.۰۴	۰.۰۵	۰.۰۸	۰.۱۸	۰.۰۱	۰.۶۵
Dy	۰.۶۲	۰.۱۱	۰.۱۷	۱.۰۲	۰.۷۲	۰.۲۴	۰.۳۶	۰.۵۸	۱.۲۷	۰.۰۵	۳۹.۱
Ho	۰.۱۳	۰.۰۲	۰.۰۳	۰.۱۹	۰.۱۴	۰.۰۵	۰.۰۷	۰.۱۲	۰.۲۸	۰.۰۱	۰.۲۴
Er	۰.۴۱	۰.۰۷	۰.۰۹	۰.۰۵	۰.۴۳	۰.۱۳	۰.۲۳	۰.۲۸	۰.۷۹	۰.۰۳	۲.۵
Tm	۰.۰۶	۰.۰۱	۰.۰۲	۰.۱	۰.۰۶	۰.۰۲	۰.۰۳	۰.۰۶	۰.۱۱	۰.۰۱	۰.۳۵
Yb	۰.۳۵	۰.۰۶	۰.۱	۰.۴۹	۰.۳۶	۰.۱	۰.۲۶	۰.۲۹	۰.۶۶	۰.۰۳	۲.۴۲
Lu	۰.۰۷	۰.۰۱	۰.۰۱	۰.۰۷	۰.۰۶	۰.۰۲	۰.۰۳	۰.۰۶	۰.۱۱	۰.۰۱	۰.۳۸

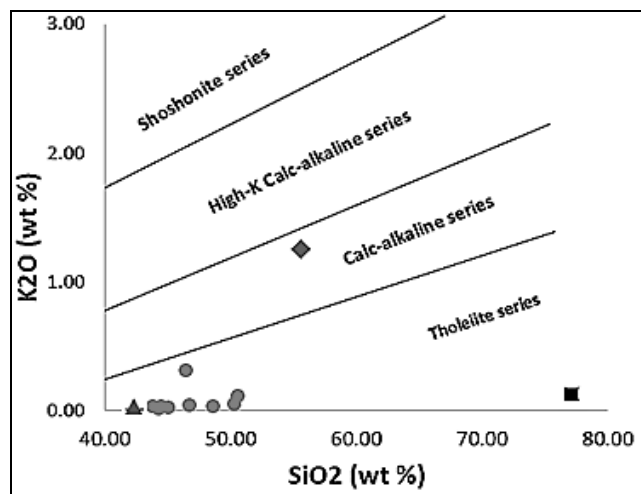
مورد بررسی غنی‌شده‌گی آهن فراوانی در نمودار AFM نشان نمی‌دهند. یکی از دلایل غنی‌شده‌گی آهن می‌تواند دگرسانی باشد [۲۸، ۲۷] که در ظاهر، این عامل در سنگ‌های منطقه نیز نقش داشته است. در نمودارهای تفکیک زمین‌ساختی [۲۹] براساس Al_2O_3 , FeOt و MgO (شکل ۱۵ الف)، V-Ti نمودار [۳۱] (شکل ۱۵ ب) و نمودار Fe_2O_3 نسبت به $\text{Mg}^{\#}$ [۳۰] (شکل ۱۶)، نمونه‌ها در میدان مُربَّع قرار دارند و تنها نمونه‌های پلاژیوگرانیت و دیابازها تمایل به محیط‌های قاره‌ای دارند. این تمایل شاید به دلیل حضور فلدسپار بیشتر در این سنگ‌ها و یا دگرسانی آنها باشد. نمونه‌های سنگی مورد بررسی نسبت به استانداردهای کندریت [۳۲] و گوشه‌های اولیه [۳۳] بهنجار شدند (شکل‌های ۱۷ و ۱۸).

زمین شیمی

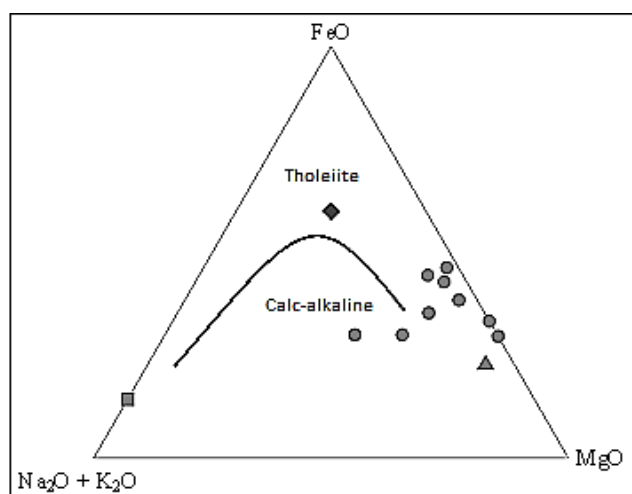
براساس نمودار رده‌بندی مجموعه قلیایی نسبت به اکسید سیلیسیم (برای مثال [۲۵، ۲۴])، نمونه‌های مورد بررسی در گستره پیکروگابرو، گابرو قرار دارند، دو تا از نمونه‌ها در گستره گرانیت و دیوریت واقع شده‌اند و همه آنها جزء سری نیمه قلیایی هستند (شکل ۱۲). در نمودار SiO_2 نسبت به K_2O (شکل ۱۳)، اغلب نمونه‌های مورد بررسی مقدار پتانسیم یکنواختی داشته و بیشتر در گستره تولئیتی قرار دارند. تنها یک نمونه در گستره آهکی قلیایی واقع است. در نمودار AFM [۲۶]، بیشتر نمونه‌ها در گستره تولئیتی و تعداد کمی از آن‌ها در گستره آهکی قلیایی قرار دارند (شکل ۱۴)، تمایل به گستره آهکی قلیایی احتمالاً به دلیل دگرسانی است. نمونه‌های منطقه



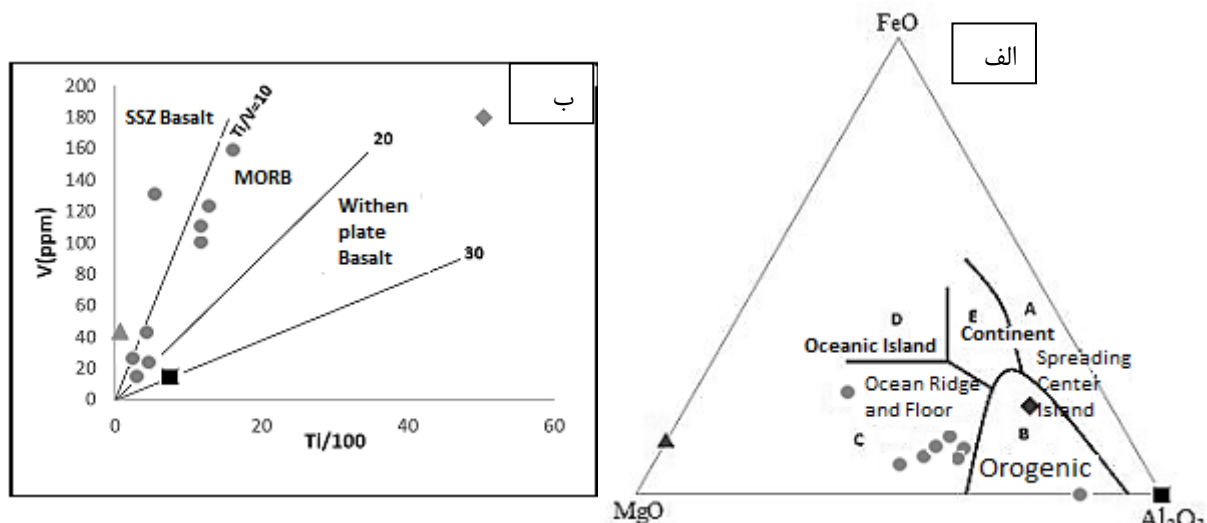
شکل ۱۲ نمودار TAS (اکسیدقلیایی - سیلیسیم) [۲۴] و نمونه‌های منطقه مورد بررسی بر آن که بیشتر در گستره نیمه قلیایی پیکرو گابرو، گابرو و به جز دو مورد، در گستره گرانیت و دیوریت قرار دارند.



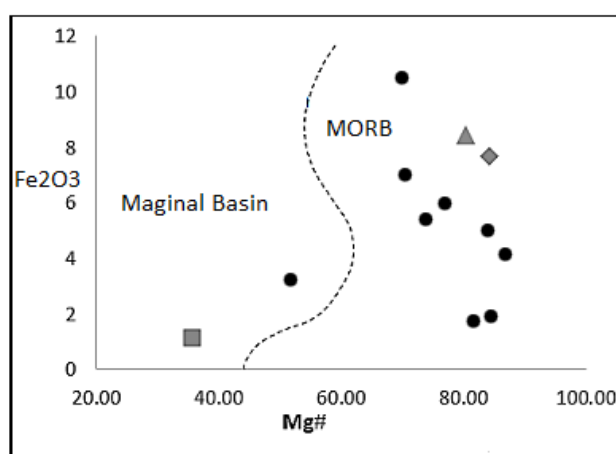
شکل ۱۳ نمودار $\text{K}_2\text{O} - \text{SiO}_2$ [۲۴]، و نمونه‌های منطقه مورد بررسی بر آن که در گستره تولئیتی قرار دارند.



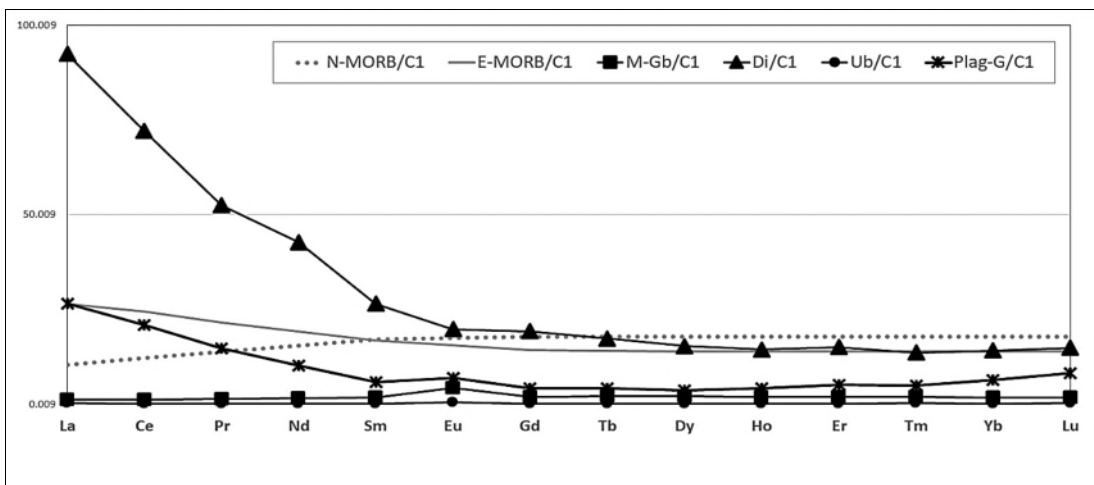
شکل ۱۴ رسم سنگ‌های منطقه مورد بررسی در نمودار AFM [۲۵]، به منظور تفکیک مجموعه‌های آهکی قلیایی از تولئیتی که بیشتر سنگ‌ها در گستره تولئیتی قرار دارند.



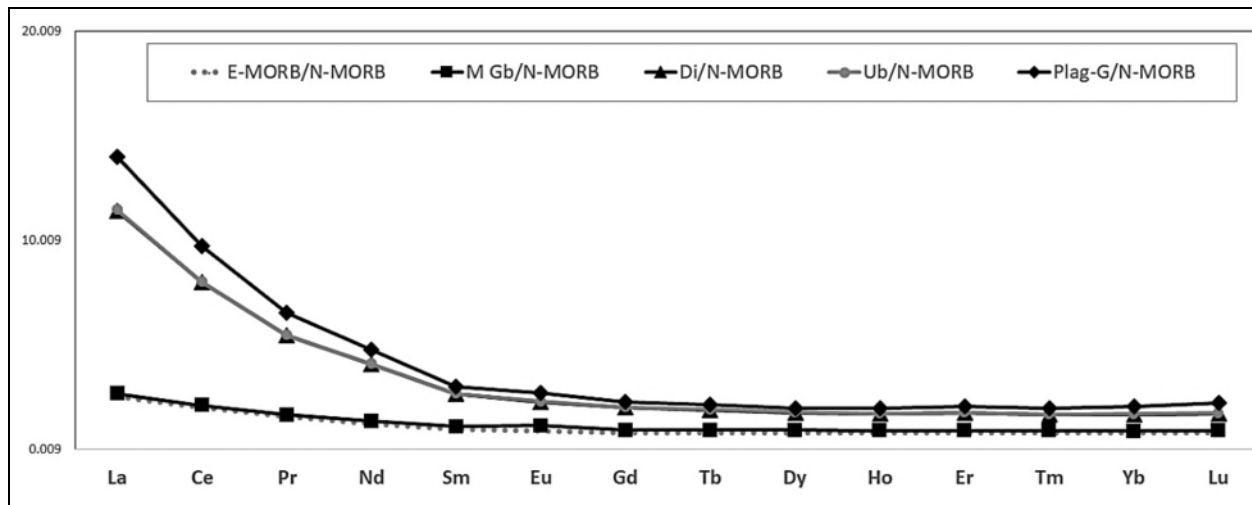
شکل ۱۵ الف: نمودار FeO , Al_2O_3 و MgO جهت تعیین محیط زمین ساختی از [۳۰]. ب: نمودار V در مقابل Ti در مقابله [۲۹] که بیشتر نمونه‌ها در گستره بازالت‌های پشتۀ میان اقیانوسی قرار دارند.



شکل ۱۶ نمودار Fe_2O_3 نسبت به $\text{Mg}^{\#}$ [۳۱] که در آن، نمونه‌های منطقه مورد بررسی در گستره MORB قرار دارند، به جز دو نمونه که در گستره کرانه فعال واقع شده‌اند.



شکل ۱۷ نمودار الگوی عناصر خاکی نادر در مورب غنی شده و تهی شده، نمونه های منطقه مورد بررسی، بهنجار شده نسبت به کندریت C1.[۳۳]



شکل ۱۸ نمودار عناصر خاکی نادر مورب غنی شده و مورب تهی شده، نمونه های منطقه مورد بررسی، بهنجار شده نسبت به مورب تهی شده [۳۳].

ممکن است به علت درصد ذوب بخشی بالا در سنگ های خاستگاه افزایش یافته باشد [۶]. غنی شدگی LREE ها را می توان نشانه ای از وجود اسپینل لرزولیت در ناحیه خاستگاه دانست. کانی های متداول گوشه شامل اولیوین، پلازیوکلاز، کلینوپیروکسن، ارتپیروکسن، گارنت و اسپینل هستند. بر این اساس، فازی که بتواند LREE ها را نسبت به HREE متمرکز کند، در گوشه وجود ندارد. بنابراین، تغییرات نسبت های این عناصر در ارتباط با ذوب و یا جدایش ماقمایی است. با توجه به الگوهای مجموعه ای مافیک و دیابازها به E-MORB، E-MORB ها می توانند ویژگی های خاستگاه را نشان دهند و به نظر می رسد که خاستگاه REE ها در نمونه های منطقه مشابه با خاستگاه REE ها در E-MORB باشد. با توجه

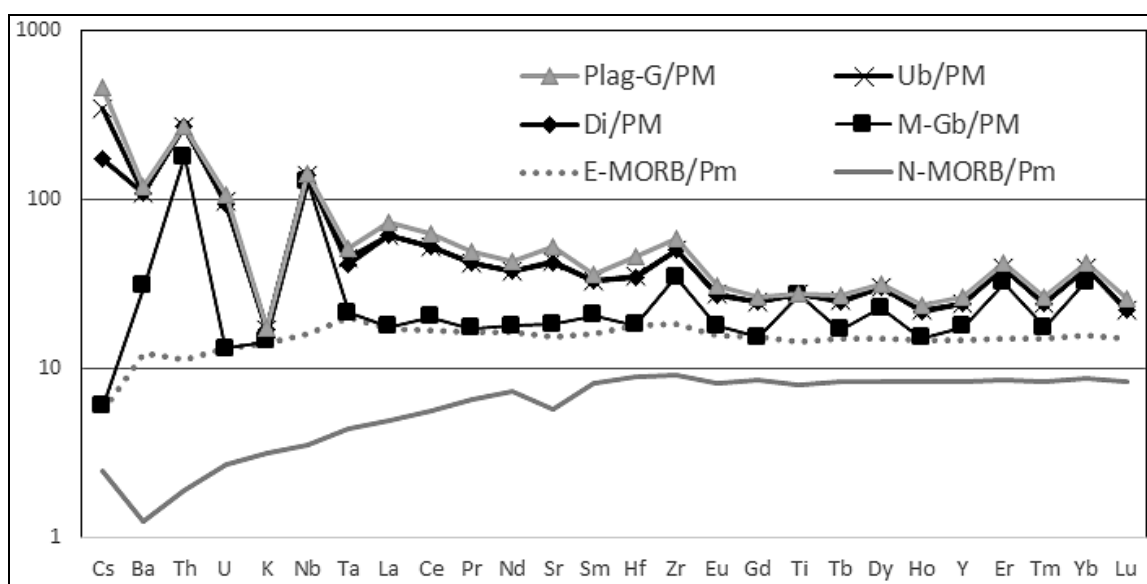
با توجه به این نمودارها، بیشتر نمونه های منطقه از عناصر خاکی نادر سبک (LREE)، متوسط (MREE) و سنگین (HREE) نسبت به بازالت های پشتہ میان اقیانوسی مورب عادی (N-MORB) و غنی شده (E-MORB) غنی شدگی پیشتری دارند. شبیع عمومی REE دارای روند نزولی است که نشانگر تهی شدگی سنگ های منطقه از عناصر خاکی نادر سنگین و غنی شدگی از عناصر خاکی نادر سبک است و روندی مشابه با E-MORB دارند. در مجموع، نسبت های HREE ها غنی شده تر هستند. در نتیجه، نسبت های LREE/HREE در سنگ های منطقه بالاست. این غنی شدگی می تواند به چندین عامل بستگی داشته باشد از جمله اینکه LREE ها تا حدی از HREE ها ناسازگار تر هستند و

کلینوپیروکسن شده و مقدار CaO در مذاب باقیمانده کاهش و آلومینیوم نیز طی جدایش مagma وارد ساختار پلازیوکلاز می-شود و مقدار آن در magma کاهش می‌یابد. بنابراین، نسبت فوق در حال کاهش بوده و در نتیجه در نمونه‌های منطقه مورد مطالعه، جدایش کلینوپیروکسن و کمتر پلازیوکلاز وجود داشته که مقدار CaO و Al₂O₃ در magma باقیمانده کم و سبب کاهش نسبت CaO/Al₂O₃ مذاب شده است. از طرفی، مقدار کاهش نسبت MgO/Al₂O₃ با افزایش MgO روند کاهشی دارد (شکل ۲۰ ب). این همبستگی منفی نشان‌دهنده جدایش اولیوین در مراحل آغازین تبلور magma است. با جدایش اولیوین، Mg وارد ترکیب این کانی می‌شود و از این رو، مقدار MgO طی جدایش magma کاهش می‌یابد. در حالی که افزایش Al₂O₃ نشان می‌دهد که پلازیوکلاز در مراحل آغازین، جدایش چندانی نداشته است. با جدایش پلازیوکلاز، Al وارد ساختار آن می‌شود و پس از جدایش پلازیوکلاز در magma مقدار این اکسید در مذاب باقی مانده کاهش می‌یابد. یکی از ویژگی‌های مشخص در سری‌های تولیتی روند شاخص تمی‌شدگی آهن در مراحل آغازین جدایش است [۵]. تغییرات FeO* نسبت به MgO در شکل ۲۱ نشان می‌دهد که تمی‌شدگی آهن در مجموعه سنگی مورد بررسی از نمونه‌های مافیک به اسیدی صورت گرفته که بیانگر جدایش magma در سنگ‌های منطقه است.

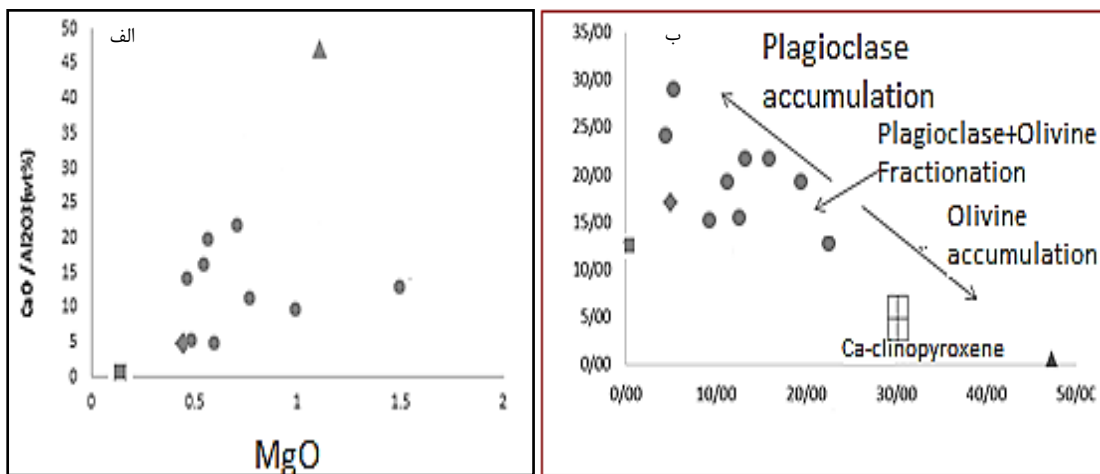
به نمودارهای چند عنصری بهنجار شده نسبت به گوشه‌های اوئیه (شکل ۱۹) در می‌باییم که همه نمونه‌های منطقه مورد بررسی از عناصر Sr، K، Ba، Cs و N-MORB (LILE) نسبت به E-MORB غنی شده‌تر هستند و نسبت به N-MORB غنی‌شدگی بیشتری در مقایسه با E-MORB دارند. به عبارتی، نمونه‌های مورد بررسی از نظر عناصر Hf، Zr، Th، Ti غنی‌شدگی N-MORB نسبت به عناصر Sr، Ba، Nb، Hf، Er، Yb، Ba نشان می‌دهند. همه عناصر K، Rb، Tm و Nahngejari منفی نسبت به مُرب نشان می‌دهند. این مقایسه‌ها نشان می‌دهد که سنگ‌های سازنده افیولیت سمسور شباهت بیشتری به E-MORB دارند.

بحث

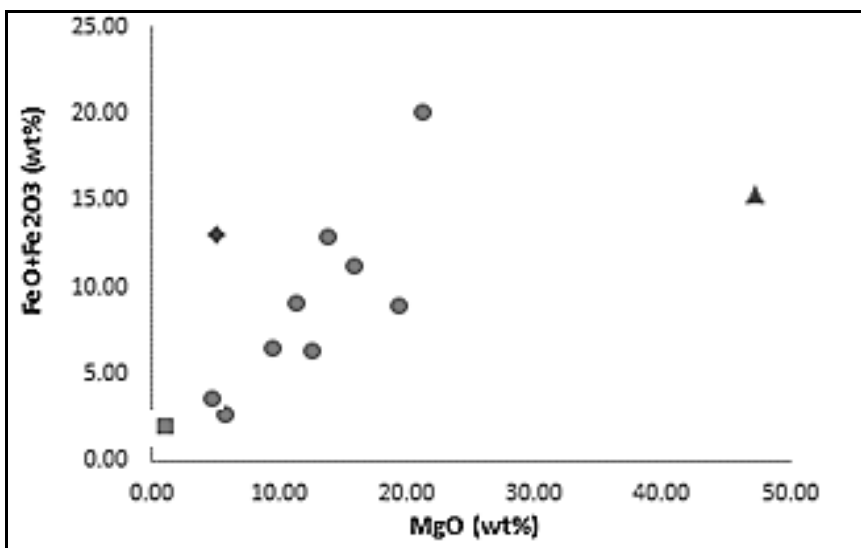
مذاب‌های با $Mg\# > 40$ از مشارکت اجزای گوشه‌های شکل می-گیرند و مقدار MgO مagma اوئیه حدود ۱۰ تا ۱۴ درصد است [۲۸]. مقدار $Mg\#$ نمونه‌های سازنده افیولیت سمسور بیش از ۳۶٪ درصد است که نشانه جدایش به نسبت زیاد magma سازنده آنهاست. با توجه به شکل ۲۰ الف، همبستگی معنی داری بین CaO/Al₂O₃ و MgO وجود دارد به طوری که با افزایش MgO، نسبت CaO/Al₂O₃ در نمودار افزایش نشان می‌دهد. با پیشرفت جدایش، کلسیم وارد ساختار کانی



شکل ۱۹ نمودار چند عنصری بهنجار شده نمونه‌های منطقه مورد بررسی همراه با مُرب غنی‌شدگی و تمی‌شدگی، بهنجار شده نسبت به گوشه‌های اوئیه [۳۳].



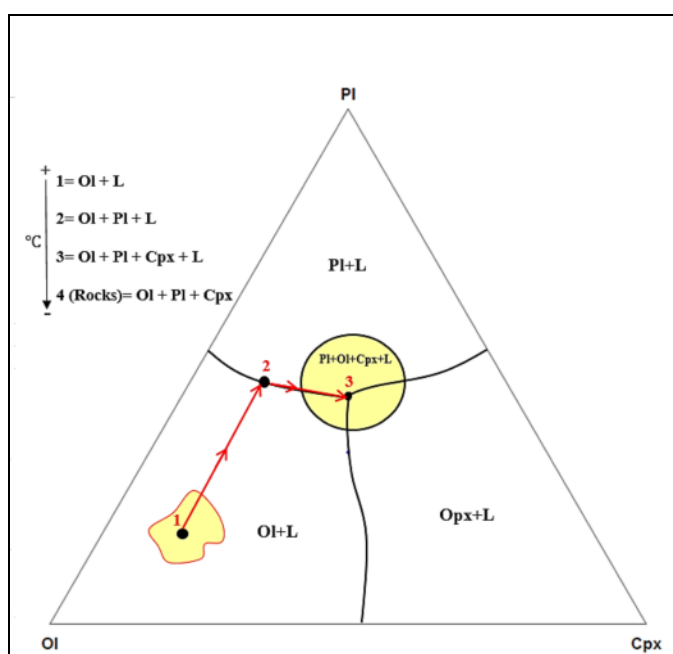
شکل ۲۰ الف: نمودار تغییرات $\text{CaO}/\text{Al}_2\text{O}_3$ نسبت به MgO . ب) نمودار تغییرات Al_2O_3 برای سنگ‌های منطقه مورد بررسی که نشان دهنده جدایش اولیوین و مقدار کمی پلازیوکلاز است.



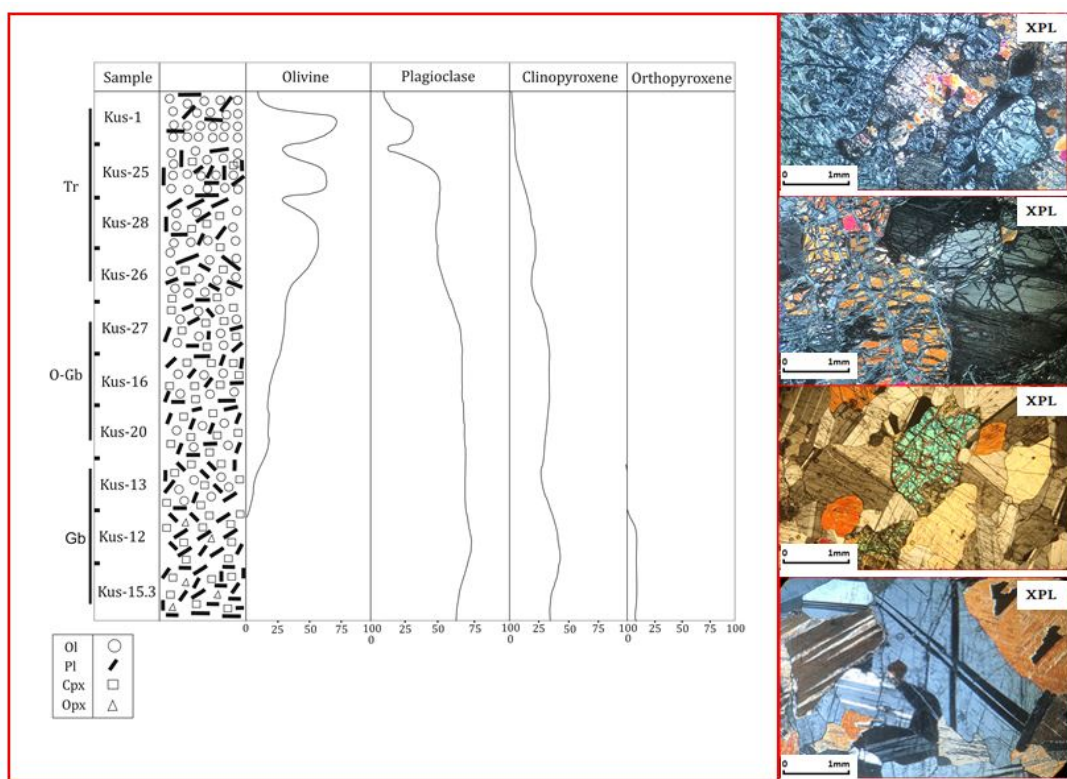
شکل ۲۱ نمودار تغییرات $\text{FeO} + \text{Fe}_2\text{O}_3$ نسبت به MgO برای سنگ‌های منطقه مورد بررسی که نشان دهنده تهی‌شدگی آهن در مراحل اولیه جدایش است.

می‌یابد. سپس، کانی پلازیوکلاز شروع به تبلور می‌کند که سرانجام با پیشرفت جدایش، مقدار اولیوین در ماگما کم شده و پلازیوکلاز شروع به جدایش نموده و در نقطه سه، کلینوپیروسن نیز شروع به جدایش می‌کند و هر سه کانی $OI + PI + Cpx + L$ وجود دارند. سرانجام با کاهش دما و پیشرفت جدایش در ماگما و سرد شدن آن، سه کانی $OI + PI + Cpx$ در سنگ بوجود می‌آیند. این وضعیت به خوبی در مجموعه گابرویی افیولیت سمسور به چشم می‌خورد (شکل ۲۳).

مجموعه‌های مافیک منطقه دارای بافت انباشتی هستند که با بررسی توالی‌های بلورهای انباشتی در بخش گابروهای لایه‌ای ترتیب تبلوری اولیوین، پلاژیوکلاز و کلینوپیروسن را نشان داده و ارتوبیروسن به چشم نمی‌خورد. این توالی شباهت بسیاری به تبلور جدایشی ماقماهای تولیکیتی پشت‌های میان اقیانوسی دارد. روند جدایش کانی‌ها در مجموعه گابروهای لایه‌ای منطقه بر اساس نمودار سه تابی ساده (شکل ۲۲)، چنان است که از ماقمای اوئیه در نقطه یک ($OI + L$) طی کاهش دما، اولیوین شروع به جدایش کرده و در نقطه دو تا سه $OI + Pl + L$ تشکیل شده و میزان جدایش اولیوین افزایش



شکل ۲۲ نمودار سه تایی ساده از تبلور جدایشی در سیستم Pl – OI – Cpx در سنگ‌های مافیک انباشتی منطقه مورد بررسی.



شکل ۲۳ نمودار مقادیر درصد اولیوین، پلازیوکلаз و کلینوپیروکسن در مجموعه گابروهای لایه‌ای منطقه بافت انباشتی (نمودار به ترتیب بر حسب جدایش کانی‌ها اولیوین، پلازیوکلاز و کلینوپیروکسن از بالا به پایین رسم شده است).

کرانه شرقی قطعه لوت است. این افیولیت را واحدهای مختلف گابروی (توده‌ای و لایه‌ای)، سنگ‌های پریدوتیتی و کمی پلازیوگرانیت می‌سازند که اغلب با هم مرز گسله و به شدت

برداشت افیولیت سمسور در مجموعه سنگ‌های وابسته به رخساره فلیش شرق ایران بروزد دارد و به نظر می‌رسد که وابسته به

- [7] Dilek Y., Furnes H., “*Ophiolite genesis and global tectonics: geochemical and tectonic fingerprinting of ancient oceanic lithosphere*”, Geological Society of America Bulletin, 123(2011), 387–411.
- [8] Manatschal G., Müntener O., “*A type sequence across an ancient magmapoor ocean-continent transition: The example of the western Alpine Tethys ophiolites*”, Tectonophysics, 473(2009), 4-19.
- [9] Dilek Y., Furnes H., “*Ophiolites and their origins*”, Elements, 10(2014), 93–100.
- [10] Nicolas A., Budahn F., “*Rooting of the sheeted dike complex in the Oman Ophiolite*”, Petrology and Structural Geology, 5(1993), 39-54.
- [11] Nicolas A., “*Structures in ophiolite and dynamics of oceanic lithosphere*”, 1st edition, Kluwer Academic Publishers Dordrecht, 23(1989) 418-516.
- [12] Dilek Y., “*Ophiolite concept and its evolution*. In: Dilek, Y., Newcomb, S. (Eds.), *Ophiolite Concept and the Evolution of Geological Thought*”, Geological Society of American, Special Paper, 373(2003), 1–16.
- [13] Arvin M., Robinson P.T., “*The petrogenesis and tectonic setting of lavas from the Bast ophiolitic mélange, Southwest of Kerman, Iran*”, Canadian journal of Earth Sciences, 31(1994), 824–834.
- [14] Stöcklin J., “*Structural correlation of the Alpine range between Iran and Central Asia*”, Memoire Hors-Série No.8, de la Societe Geologique de la France, 8(1977)333-353.
- [15] Takin M., “*Iranian geology and continental drift in Middle east*”, G.S.I., Note N 81.Tectonophysics, 123(1972), 241–315.
- [16] Stocklin J., “*Possible ancient continental margins in Iran*”, In: Burke, C.A., Drake, C.L. (Eds.), *The geology of continental margins* Springer. NewYork, 16(1974), 873–887.
- [17] McCall G.J.H., “*The geotectonic history of the Makran and adjacent areas of southern Iran*”, Journal of Asian Earth Sciences, 15(1997), 517-531.
- [18] Alavi M., “*Sedimentary and structural characteristics of the Paleo -Tethys remnants in north-eastern Iran*”, Geological Society of American Bulletin, 103(1991),983-992.

خُرد شده دارند. مهمترین واحد این افیولیت سنگ‌های گابرویی هستند که از کانی‌های اصلی پلاژیوکلاز، اولیوین و پیروکسن تشکیل شده‌اند و بیشتر دارای بافت‌های دانه‌ای و پوست ماری هستند. بررسی‌های زمین‌شیمیایی این سنگ‌ها آشکار نمود که آنها می‌توانند وابسته به مagma‌های تولیتی بوده و از گوشه‌های غنی شده (E-MORB) شکل گرفته باشند. نمودارهای تفکیک محیط زمین‌ساختی آنها نشان از وابستگی آنها به محیط‌های پشت‌های میان اقیانوسی (MORB) دارد. مقادیر عناصر خاکی E-MORB نادر موجود در این نمونه‌ها شباهت بسیاری به دارند. بررسی توالی‌های بلورهای انباستی در گابروهای لایه‌ای ترتیب تبلوری اولیوین، پلاژیوکلاز و کلینوپیروکسن را نشان می‌دهد و ارتوپیروکسن به چشم نمی‌خورد. این توالی شباهت بسیاری به تبلور جدایشی magma‌های تولیت پشت‌های میان اقیانوسی دارد.

قدرتمند

نویسنده‌گان مقاله از زحمات سردبیر محترم مجله، هیات تحریریه و نظرات و پیشنهادات بسیار سازنده داوران محترم کمال قدردانی و تشکر را دارند.

مراجع

- [1] White A.J. R., “*The subduction initiation rule: a key for linking ophiolite, intra-oceanic fore arcs, and subduction initiation*”, Contributions of Mineralogy and Petrology, 4 (2013), 1031–1045.
- [2] Moore E.M., “*Origin and emplacement of ophiolites*”, Journal of Geology, 83(1995), 735-760.
- [3] Coleman R. G., “*Ophiolites, Ancient oceanic lithosphere?*”, Springer Verlag, Berlin, (1977), 299.
- [4] Steinmann G., “*Die ophiolite hischen zone in den Mittelgebirgen der kettengebirgen*”, 14th International Geological Congress, 2(1927), 637-668.
- [5] Wilson M., “*Igneous perogenesis, A Global Tectonic Approach*”, Chapman and Hall, (1989)466p.
- [6] Winter J., “*An introduction to igneous and metamorphic petrology*”, Pearson Prentice Hall, (2010), 702.

- rocks*", Canadian Journal of Earth Science, 8(1971), 523-548.
- [27] Medvedive A.Y., Mukhamedov A.l., Kirda N.P., "Geochemistry of Permo-Triassic volcanic rocks of West Siberia", Russian Geophysics, 44(2003), 86-100.
- [28] Wilson M., "Igneous petrogenesis", Springer Verlag, London, (2007), 466pp.
- [29] Pearce J. A., Gorman B.E., Birkett T.C., "The relationship between major element geochemistry and tectonic environment of basic and intermediate volcanic rocks", Earth and Planetary Science Letters, 36(1977), 121-132.
- [30] Shervais J.W., "Ti-V plots and the petrogenesis of modern and ophiolite lavas", Earth and Planetary Science Letters, 57(1982), 101-108.
- [31] Saunders A.D., Tamey J., "Back-arc basins", In: Floyd, PA (ed) Oceanic Basalts Blackie, Glasgow, 18(1991), 219-263.
- [32] Boynton W.V., "Geochemistry of rare earth elements: meteorite studies. In: P. Henderson (Editor), Rare Earth Element Geochemistry", Elsevier, Amsterdam, (1984), 63–114.
- [33] Sun S.S., McDonough W.F., "Chemical and isotopic systematics of oceanic basalts: implications for mantle composition and processes In: Saunders A.D. and Norry M.J. (eds.), Magmatism in ocean basins", Geological Society of London Special Publications, 42(1989), 313-345.
- [19] Knipper A., Ricou L.E., Dercourt J., "Ophiolite indicators of the geodynamic evolution tethyan Ocean", Tectonophysics, 123(1986)213-240.
- [20] Sahandi M. R., Mohajel M., Eghlimi B., Nezhad J., "1/100000 geological map of Hasanabad-e-Kurin", Geological Survey of Iran, (1978).
- [21] Carr M., "Program Igpet", Terra Softa, Somerset, New Jersey, U.S.A, (1995).
- [22] Janousek V., Geist D. J., White C. M., "A quickbasic program for petrochemical recalculation of whole-rock major element analyses on IBMPC", Journal of the Czech Geological Society, 46(2001),9-13.
- [23] Ghodsi R., Boomari M., Bagheri S., "Geochemistry zircon U-Pb age and tectonic constraints on the Bazman granitoid complex, Southeast Iran", Turkish Journal of Earth Sciences, 25(2016), 311-340.
- [24] Cox K. G., Bell J.D., Pankhurst R. J., "The interpretation of igneous rocks", George Allen and Unwin,(1979), 450p.
- [25] Le Bas M.J., Le Maiter R.W., "Streckeisen A, and Zanetti, B, A chemical classification of volcanic rocks based on the total alkali- silica diagram", Journal of Petrology, 27(1986), 745-750.
- [26] Irvine T.N., Baragar W.R.A., "A guide to the chemical classification of the common volcanic